

Московский Государственный Технический Университет им. И. Э. Баумана
А. М. Кириллов, Л. Н. Климов
МЕХАНИЧЕСКИЕ КОЛЕБАНИЯ И ВОЛНЫ В ТВЕРДОМ ТЕЛЕ

Методические указания к лабораторной работе М-7 по курсу общей физики.
Под редакцией Л.К. Мартинсона
МГТУ, 1992.

Рассмотрены продольные колебания в металлическом стержне и поперечные колебания в слабо натянутой струне. Для студентов 1-го курса.

Цель работы - определение скорости распространения механических колебаний в упругом стержне и слабо натянутой струне по параметрам возбужденной в них стоячей волне.

ВВЕДЕНИЕ

Если в каком-либо участке сплошной упругой среды возникает механическая деформация, то, благодаря упругим силам, изменение этой деформации может иметь колебательный характер. Эти колебания с конечной скоростью будут распространяться от данного участка среды к другим ее участкам.

Процесс распространения колебаний в среде (в общем случае - в пространстве) называют волной. Волна называется продольной, если смещение частиц среды происходит вдоль направления распространения колебаний, и поперечной, если смещение частиц перпендикулярно этому направлению.

В общем случае отсчитанное от положения равновесия смещение ξ частицы среды, в которой распространяется волна, есть функция координат x, y, z и времени t . Для частного случая плоской волны, распространяющейся в направлении оси x , $\xi = \xi(x, t)$

Можно показать [1, §94], что для незатухающей монохроматической плоской бегущей в направлении x волны

$$\xi = \xi_{\text{MAX}} \cdot \cos\left[\omega\left(t - \frac{x}{v}\right)\right] = a \cos\left(\omega t - \frac{2\pi}{vT} x\right) = a \cos\left(\omega t - \frac{2\pi}{\lambda} x\right) = a \cos(\omega t - kx) \quad (1)$$

где $a = \xi_{\text{MAX}}$ амплитуда, т.е. максимальное смещение частицы от ее положения равновесия, x - координата точки положения равновесия колеблющейся частицы, T - период колебаний, ω - круговая (циклическая) частота колебаний, v - фазовая скорость волны, t - текущее время, λ - длина волны, $2\pi/\lambda$ - волновое число.

В приведенной записи уравнение (1) не содержит начальной фазы колебаний, что вполне возможно при соответствующем выборе начал отсчета x и t .

При наложении двух встречных, бегущей и отраженной, незатухающих волн с одинаковыми амплитудой a и частотой ω :

$$\begin{aligned} \xi_1 &= a \cos(\omega t - kx) \\ \xi_2 &= a \cos(\omega t + kx) \end{aligned}$$

возникает стоячая волна, уравнение которой имеет вид

$$\xi = \xi_1 + \xi_2 = a \cos(\omega t - kx) + a \cos(\omega t + kx) = 2a \cos kx \cdot \cos \omega t = A \cos kx \cdot \cos \omega t \quad (2)$$

Из соотношения (2) следует, что в отличие от бегущей волны у стоячей волны амплитуда $|A \cdot \cos(kx)|$ есть функция координаты x . В точках, где

$$kx = 2\pi \frac{x}{\lambda} = \pm n\pi, \quad (n = 0, 1, 2, 3, \dots) \quad (3)$$

амплитуда стоячей волны достигает максимального значения. Эти точки называются **пучностями** стоячей волны. В точках, где

$$kx = 2\pi \frac{x}{\lambda} = \pm(n + \frac{1}{2})\pi, \quad (n = 0, 1, 2, 3, \dots) \quad (4)$$

амплитуда стоячей волны обращается в нуль. В этих точках нет колебаний частиц среды и они называются **узлами**.

Из (3) и (4) следует, что расстояние ($x_{n+1} - x_n$) между соседними пучностями (или соседними узлами) равно половине длины волны:

$$x_{n+1} - x_n = (n + 1)\frac{\lambda}{2} - n\frac{\lambda}{2} = \frac{\lambda}{2} \quad (5)$$

В общем случае [1] уравнение любой волны является решением дифференциального уравнения, называемого волновым:

$$\frac{\partial^2 \xi}{\partial x^2} + \frac{\partial^2 \xi}{\partial y^2} + \frac{\partial^2 \xi}{\partial z^2} = \frac{1}{v^2} \frac{\partial^2 \xi}{\partial t^2} \quad (6)$$

где v - скорость распространения волны. В одномерном случае (1) и (2) есть решения волнового уравнения

$$\frac{\partial^2 \xi}{\partial x^2} = \frac{1}{v^2} \frac{\partial^2 \xi}{\partial t^2} \quad (7)$$

Поскольку

$$v = \lambda \nu \quad (8)$$

то при экспериментальном определении v необходимо измерять частоту колебаний ν и длину волны λ .

А. ОПРЕДЕЛЕНИЕ СКОРОСТИ РАСПРОСТРАНЕНИЯ ПРОДОЛЬНЫХ ЗВУКОВЫХ ВОЛН В МЕТАЛЛИЧЕСКОМ СТЕРЖНЕ.

ТЕОРЕТИЧЕСКАЯ ЧАСТЬ.

Рассмотрим элемент стержня длиной dx , заключенный между поперечными сечениями стержня в точках x и $x+dx$ (рис. 1).

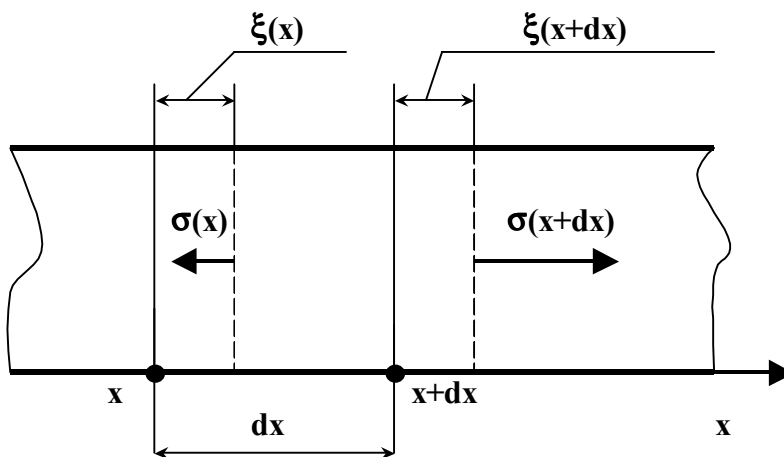


Рис. 1

При распространении вдоль стержня (по оси x) продольной волны в любом его поперечном сечении возникает напряжение σ , являющееся функцией координаты x и времени t . На рис. 1 показаны возникшие в некоторый момент времени напряжения на торцах рассматриваемого элемента dx стержня: $\sigma(x)$ и $\sigma(x+dx)$ при соответствующих смещениях из положений равновесия

$\xi(x)$ и $\xi(x+dx)$ колеблющихся частиц стержня. Сила, действующая в этот момент времени на элемент dx стержня, равна

$$F_x = S[\sigma(x + dx) - \sigma(x)]$$

где S - площадь поперечного сечения стержня, малые изменения которой при распространении в нем колебаний учитывать не будем.

Выражая массу m элемента стержня через плотность ρ , сечение S , длину dx и обозначая его ускорение $a_x = \partial^2 \xi / \partial t^2$ на основании второго закона Ньютона ($ma_x = F_x$) можно написать

$$S\rho dx \frac{\partial^2 \xi}{\partial t^2} = S[\sigma(x + dx) - \sigma(x)]$$

или с учетом малости dx

$$\rho dx \frac{\partial^2 \xi}{\partial t^2} = \frac{\partial \sigma}{\partial x} dx$$

т.е.

$$\rho \frac{\partial^2 \xi}{\partial t^2} = \frac{\partial \sigma}{\partial x} \quad (9)$$

На основании закона Гука, обозначая изменение длины элемента стержня $\delta(dx)$ имеем

$$\sigma = E \frac{\delta(dx)}{dx}$$

где E - модуль Юнга, характеризующий упругие свойства вещества. В свою очередь изменение длины элемента стержня определяется разностью смещений его торцов:

$$\delta(dx) = \xi(x + dx) - \xi(x) = \frac{\partial \xi}{\partial x} dx$$

Следовательно,

$$\sigma = E \frac{\partial \xi}{\partial x} \quad (10)$$

Продифференцировав (10) по координате x , имеем

$$\frac{\partial \sigma}{\partial x} = E \frac{\partial^2 \xi}{\partial x^2} \quad (11)$$

Подставив (11) в (9), получим волновое уравнение

$$\frac{\partial^2 \xi}{\partial t^2} = \frac{E}{\rho} \frac{\partial^2 \xi}{\partial x^2} \quad (12)$$

Размерность отношения E/ρ , входящего в (12), совпадает с размерностью квадрата скорости: $[E/\rho] = \text{Н} \cdot \text{м}^{-2} / \text{кг} \cdot \text{м}^{-3} = \text{м}^2 / \text{с}^2$. Сопоставив (12) и (7), приходим к выводу, что скорость распространения продольной волны в упругом твердом теле определяется выражением

$$v = \sqrt{\frac{E}{\rho}} \quad (13)$$

С другой стороны, скорость распространения волны может быть найдена из соотношения (8).

ЭКСПЕРИМЕНТАЛЬНАЯ ЧАСТЬ

Экспериментальная установка

В данном эксперименте определяется скорость v распространения продольной волны в металлическом стержне АВ, жестко закрепленном посередине в т. С (рис. 2).

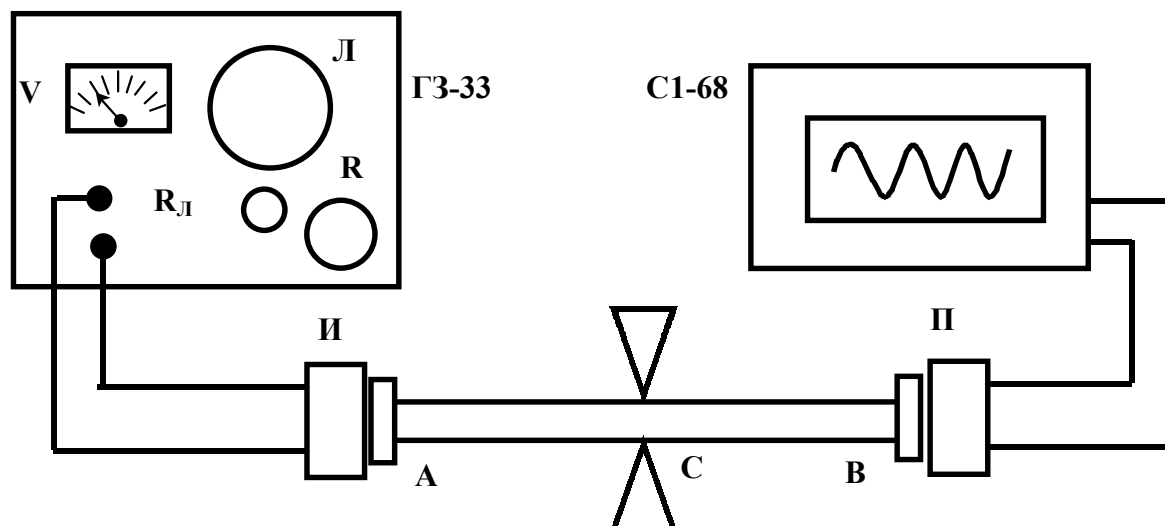


Рис. 2

К свободным концам А и В стержня прикреплены небольшие ферромагнитные диски. Если вблизи конца А расположить источник И переменного магнитного поля, то диск конца А начнет вибрировать и его колебания передадутся стержню. Источник И представляет собой катушку с ферромагнитным сердечником, на которую подается переменное напряжение от генератора звуковой частоты ГЗ-33, питающегося от сети. Вблизи другого конца В стержня расположен приемник П, по конструкции аналогичный источнику И. Распространяющиеся вдоль стержня колебания вызывают вибрацию ферромагнитного диска, укрепленного на конце В. Это приводит к изменению магнитного поля сердечника приемника П, в результате чего в обмотке приемника П индуцируется переменное напряжение. Обмотка подключена к электронному осциллографу С1-68, на экране которого можно наблюдать развертку колебаний индуцированного напряжения.

С помощью регулировочного винта $R_{л}$, вращающего лимб Л генератора ГЗ-33, можно подобрать такую частоту звуковых колебаний, при которой в стержне возникнут резонансные колебания и установится стоячая волна. Если подобранная частота колебаний будет совпадать с наименьшей (основной) частотой ν_0 собственных колебаний стержня, то в данном стержне длиной l установится стоячая волна с наименьшим числом узлов и пучностей (первая гармоника), как показано на рис. 3 а (на стержне укладывается половина длины волны, так как между двумя пучностями на его концах есть только один узел в его середине). В этом случае на экране осциллографа С1-68 наблюдается резкое увеличение амплитуды колебаний.

Увеличив с помощью лимба Л частоту колебаний до значения $\nu=3\nu_0$, можно снова наблюдать на экране С1-68 резонансное увеличение амплитуды колебаний, но на этот раз слабое. Регистрируемая по лимбу Л частота ν в этом случае является частотой второй гармоники, при которой в стержне укладывается три полуволны (рис. 3 б).

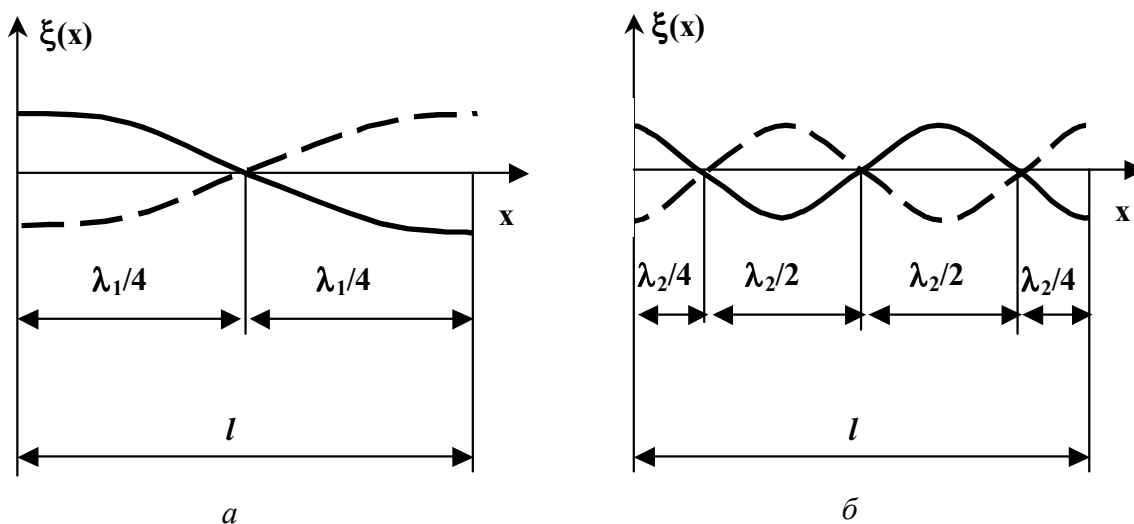


Рис.3

Выполнение эксперимента

1. Включить с помощью тумблера «Сеть» генератор ГЗ-33 и осциллограф С1-68.
2. Установить в окошке ГЗ-33 «Пределы шкалы» набор пределов 3V, 10V, 30V, +30 dB. Ручкой R «Рег.выхода» установить по вольтметру V такое напряжение, при котором его стрелка не выйдет за пределы шкалы.
3. Установить множитель шкалы лимба ГЗ-33 на «X 100».
4. Установить ручку усилителя Y осциллографа С1-68 в положение «0,1», а множитель усилителя Y- в положение «X 1».
5. Установить множитель развертки осциллографа С1-68 в положение «X 1».
6. Вращая ручку лимба «Частота Hz» генератора ГЗ-33 в пределах от 3000 до 8000 Гц, добиться появления на экране осциллографа резкого увеличения амплитуды колебаний и зарегистрировать найденную основную частоту колебаний стержня ν_0 .

Примечание. При поиске основной частоты ν_0 ручку лимба вблизи этой частоты надо вращать медленно.

7. Вычислить скорость распространения колебаний в стержне по формуле

$$v=2l\nu_0 \quad (14)$$

где l - длина стержня.

Примечание. Формула (14) следует из формулы (8), поскольку при частоте ν_0 $\lambda=2l$.

8. Вычислить скорость распространения колебаний в стержне по формуле (13), воспользовавшись значениями E и ρ , взятыми для данного стержня из справочника.
9. Записать окончательный результат в виде $v \pm \Delta v$, где Δv - абсолютная погрешность измерения скорости v , найденной по формуле (14).

Расчет погрешности Δv . Поскольку в используемом генераторе ГЗ-33 шкала лимба в области измеряемой частоты ν_0 довольно грубая, многократные измерения частоты ν_0 не приведут к заметным отклонениям результатов измерения. Поэтому для оценки погрешности измерения частоты ν_0 необходимо воспользоваться паспортными данными генератора ГЗ-33, по которым относительная погрешность показаний его лимба $\Delta \nu/\nu = + 0,02$. Таким образом, можно подсчитать относительную погрешность ϵ скорости по формуле

$$\epsilon = \frac{\Delta v}{v} = \sqrt{\left(\frac{\Delta l}{l}\right)^2 + \left(\frac{\Delta \nu_0}{\nu_0}\right)^2}$$

принимая $\Delta \nu_0/\nu_0 = + 0,02$ $\Delta l = 1$ мм (для длины стержня l указанной на установке).

По ϵ можно оценить и значение погрешности $\Delta v = \epsilon v$.

Контрольные вопросы

1. От каких параметров среды зависит скорость распространения продольной волны в упругом стержне?
2. Чем отличается стоячая волна от бегущей?
3. Каково отношение v_1/v_2 продольных волн в двух стержнях, если для них $(E_1/\rho_1):(E_2/\rho_2)=100:81$?

**Б.ОПРЕДЕЛЕНИЕ СКОРОСТИ РАСПРОСТРАНЕНИЯ КОЛЕБАНИЙ В СЛАБО НАТЯНУТОЙ СТРУНЕ
ТЕОРЕТИЧЕСКАЯ ЧАСТЬ**

Пусть $y=\xi(x,t)$ - уравнение, описывающее смещение точек колеблющейся однородной струны в некоторый момент времени t , концы которой находятся на оси x . Для малых смещений при слабом натяжении струны можно полагать, что это натяжение неизменно по всей длине струны и не зависит от времени. Рассмотрим в некоторый момент времени смещенный из положения равновесия в направлении оси y малый отрезок струны Δl (рис. 4). К его концам по касательным к струне приложены равные по модулю силы натяжения F , образующие с направлением оси x углы $\pi+\varphi_1$ и φ_2 .

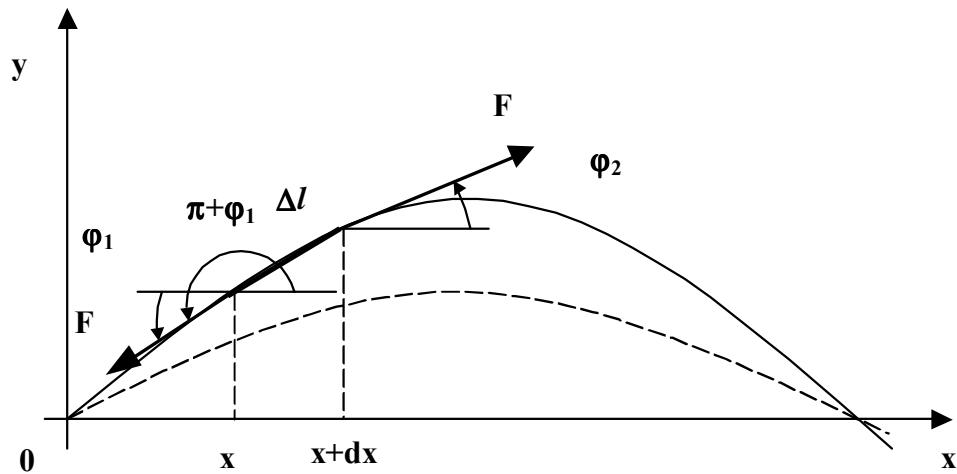


Рис.4

При малых смещениях отрезка Δl можно считать φ_1 и φ_2 малыми углами, разность модулей которых в общем случае не равна нулю. Поскольку при малых углах φ_1 и φ_2 имеем $\sin\varphi_1 \approx \text{tg}\varphi_1$ и $\sin\varphi_2 \approx \text{tg}\varphi_2$, то для проекций сил F на ось y , учитывая, что $y=f(x, t)$ можно написать соотношения:

$$F \sin(\pi + \varphi_1) = -F \sin \varphi_1 \approx F \text{tg} \varphi_1 = -F \left. \frac{\partial \xi}{\partial x} \right|_x$$

$$F \sin \varphi_2 \approx F \text{tg} \varphi_2 = F \left. \frac{\partial \xi}{\partial x} \right|_{x+\Delta x}$$

Очевидно, что сумма проекций сил F на ось y является силой, возвращающей отрезок Δl в положение равновесия. На основании второго закона Ньютона имеем

$$F \cdot \left[\left. \frac{\partial \xi}{\partial x} \right|_{x+\Delta x} - \left. \frac{\partial \xi}{\partial x} \right|_x \right] = \beta \Delta x \frac{\partial^2 \xi}{\partial t^2} \tag{15}$$

где β - линейная плотность, численно равная массе отрезку единичной длины струны, находящейся в положении равновесия; $\partial^2 \xi / \partial t^2$ - ускорение, сообщаемое отрезку Δl струны

возвращающей силой. С учетом малости Δx получаем

$$F \frac{\partial^2 \xi}{\partial x^2} \Delta x = \beta \Delta x \frac{\partial^2 \xi}{\partial t^2}$$

или

$$\frac{F}{\beta} \frac{\partial^2 \xi}{\partial x^2} = \frac{\partial^2 \xi}{\partial t^2} \quad (16)$$

Сопоставляя (16) и (7), находим

$$v = \sqrt{\frac{F}{\beta}} \quad (17)$$

Таким образом, скорость v распространения волны в слабо натянутой струне зависит от ее линейной плотности и от того, как она была натянута в положении равновесия, но не зависит от упругих свойств струны. Независимость скорости волны от упругих свойств струны в данном случае объясняется тем, что возвращающая сила, действующая на каждый отрезок Δl струны, является суммой проекций на ось y неизменных во времени сил F (по модулю).

Линейная плотность струны β связана с обычной плотностью струны ρ соотношением

$$\beta = \rho \cdot S = \rho \frac{\pi d^2}{4} \quad (18)$$

где S - площадь поперечного сечений струны, d - диаметр сечения струны, с учетом (18) формула (17) переходит в формулу

$$v = \frac{2}{d} \sqrt{\frac{F}{\pi \rho}} \quad (19)$$

ЭКСПЕРИМЕНТАЛЬНАЯ ЧАСТЬ

Экспериментальная установка

Установка (рис. 5) для проведения эксперимента состоит из горизонтальной струны, конец A которой закреплен, а другой, имеющий чашечку для гирь, перекинут через металлический блок B . К концу A и блоку B подводится переменный ток от выходных клемм генератора звуковой частоты ГЗ-33, питающегося от сети. Постоянный магнит M , в горизонтальном магнитном поле которого находится небольшой участок струны, вызывает появление периодически меняющейся в вертикальном направлении силы Ампера, приложенной к этому участку струны. При некотором натяжении струны частота ее собственных колебаний может оказаться совпадающей с частотой изменения силы Ампера, т.е. с частотой переменного тока генератора. В этом случае наступает резонанс, что легко обнаружить по отчетливому появлению узлов и пучностей поперечной стоячей волны в струне.

Скорость распространения колебаний в струне можно найти либо по силе ее натяжения с помощью формулы (17), либо по частоте ее резонансных колебаний, используя формулу

$$v = \frac{2l}{n} \nu \quad (20)$$

где l - длина струны, ν - частота колебаний, n - число пучностей (для основного тона $n=1$).

Примечание. Формула (20) следует из формулы (8), поскольку при возникновении в струне стоячей волны длина l струны должна содержать целое число n ($n = 1, 2, 3, \dots$) полуволн:

$$l = n \frac{\lambda}{2}$$

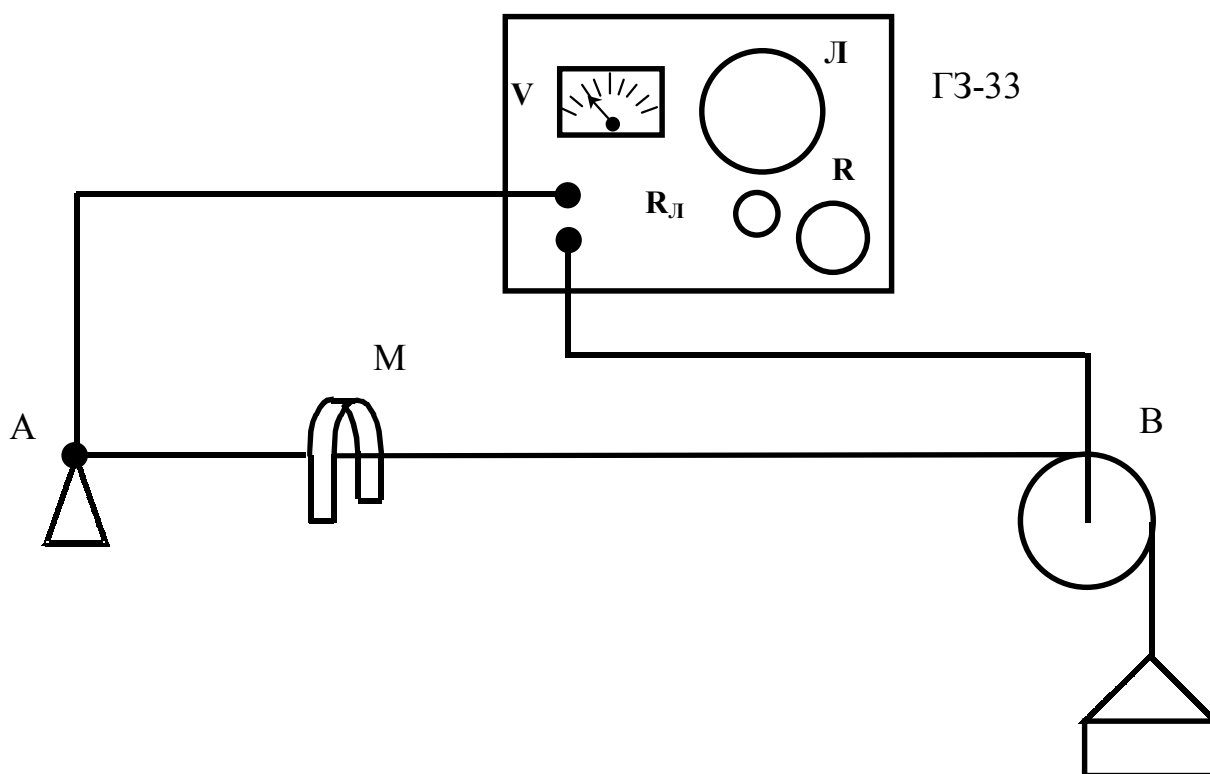


Рис. 5

Выполнение эксперимента

1. Ознакомиться с экспериментальной установкой. Проверить, правильно ли подведено напряжение от выходных клемм генератора ГЗ-33, не соскочила ли струна с металлического блока.
2. Установить в окошке ГЗ-33 «Пределы шкалы» набор пределов 3V, 10V, 30V, +30dB. Ручкой «Рег. выхода» установить по вольтметру V такое напряжение, при котором его стрелка не выйдет за пределы шкалы.
3. Поставить переключатель множителя частот генератора ГЗ-33 в положение «X 1», лимб частот генератора установить в положение, соответствующее частоте 25 Гц, и включить генератор в сеть.
4. Установить частоту 25 Гц с помощью регулятора R_Л генератора ГЗ-33 (см. рис. 5). Нагружая чашку гирями (вначале около 10 гс (в соответствии с правилами ГОСТ грамм-сила имеет обозначение гс)), подобрать такое натяжение струны, при котором возникает стоячая волна с одной пучностью (колебания основного тона), За натяжение F струны принять $F = P_1 + P_2$, где P₁ - вес гирь, P₂ - вес чашки (вес чашки P₂ для данной установки должен быть известен).
5. Не меняя полученного в п. 4 натяжения струны, увеличить с помощью винта R_Л лимба Л частоту 25 Гц в два, три, четыре и т.д., раз, наблюдая в каждом случае стоячую волну с разным числом n пучностей, т.е. высшие гармоники • вторую, третью, четвертую и т.д.
6. Повторить измерения, сделанные в п. 4, задавая лимбом генератора ГЗ-33 частоты 30, 35, 40, 45, 50 Гц. Подобранные в каждом случае натяжение струны F в грамм-силах (гс) и ньютонах (Н), а также соответствующую частоту основного тона в герцах (Гц), занести в таблицу.

Частота основного тона v, ГЦ	F, гс	F, Н	$v = \sqrt{\frac{F}{\beta}}$ [см. (17)]		$v = \frac{2l}{n} \nu$ [см. (20)]	
			v±Δv, м/с	Δv/v, 100%	v±Δv, м/с	Δv/v, 100%

--	--	--	--	--	--	--

7. Рассчитать в каждом случае скорость волны по формуле (17). Относительная погрешность скорости, вычисленной по формуле (17), может быть найдена из равенства

$$\varepsilon = \frac{\Delta v}{v} = \frac{1}{2} \sqrt{\left(\frac{\Delta F}{F}\right)^2 + \left(\frac{\Delta \beta}{\beta}\right)^2}$$

где $\Delta F = +1$ гс,

$$\frac{\Delta \beta}{\beta} = \sqrt{\left(\frac{\Delta m_1}{m_1}\right)^2 + \left(\frac{\Delta l_1}{l_1}\right)^2}$$

так как $\beta = m_1/l_1$ (m_1 измеренная масса отрезка l_1 струны из такого же материала и того же диаметра, как в установке).

Линейная плотность β и ее относительная погрешность $\Delta\beta/\beta$ для данной струны обычно указываются.

Зная ε , можно подсчитать значение абсолютной погрешности скорости Δv :

$$\Delta v = \varepsilon \cdot v$$

8. Рассчитать в каждом случае скорость волны по формуле (20), полагая $n=1$.

9. Результаты вычислений в пп. 7 и 8 занести в таблицу (см. п. 6) и по этим данным построить на одних осях координат (v и F) два графика зависимости скорости v , найденной по формулам (17) и (20), от натяжения F .

Контрольные вопросы.

1. Чем отличается стоячая волна от бегущей?
2. Почему оказалось, что скорость волны в струне не зависит от модуля Юнга E материала струны?
3. В струне, имеющей длину l , плотность ρ , диаметр сечения d и натяжение F , возникла стоячая волна с одной пучностью частотой ν . Возникнет ли стоячая волна с той же частотой ν при том же натяжения F в такой же струне, но имеющей диаметр сечения $(1/2)d$, $(3/2)d$, $2d$, $3d, \dots$? Если возникнет, то с каким числом пучностей?

ЛИТЕРАТУРА

1. Савельев И.В. Курс общей физики. Т.2. М.: Наука, 1988, 496 с.
2. Кириллов А.М., Климов Л.Н., Расторгуева А.В. Изучение механических колебаний и волн. М.: МВТУ, 1983. 16 с.